_ ПРИБОРЫ, ИЗГОТОВЛЕННЫЕ ₋ В ЛАБОРАТОРИЯХ

УЛК 541.183

БЫСТРОДЕЙСТВУЮЩИЙ ИМПАКТОР С УНИПОЛЯРНОЙ ЗАРЯДКОЙ КАПЕЛЬ

© 2019 г. А. В. Загнитько, Н. П. Зарецкий, А. В. Каникевич, И. Д. Мацуков

Поступила в редакцию 13.12.2018 г. После доработки 16.01.2019 г. Принята к публикации 20.01.2019 г.

DOI: 10.1134/S0032816219040189

Разработан быстродействующий импактор для измерения массовой, поверхностной и счетной концентрации грубодисперсных капель, а также для детектирования субмикронных аэрозолей с диаметром $d \ge 0.01$ мкм. Анализ фракций капель по размерам осуществляется путем их униполярной зарядки газовыми ионами коронного разряда с последующим измерением токов переноса, возникающих при осаждении заряженных капель на токопроводящие дисковые подложки инерционных каскадов импактора [1]. По величине токов с подложек каскадов можно определить распределение концентрации капель по диаметру и концентрации в режиме текущего времени.

Импактор содержит (рис. 1) устройство для униполярной зарядки капель *1* положительными газовыми ионами в зоне коронного разряда, соединенное с шаровым пневматическим электроклапаном 2 с временем открывания менее 0.1 с; разборные инерционные каскады 3 в количестве i = 2-6 с круглыми соплами и дисковыми подложками из пористого никеля или стекловолокна. На выходе из импактора установлен электропроводящий фильтр 4 из пористого никеля или стекловолокна с эффективностью улавливания >99.9% заряженных капель с $d \ge 0.01$ мкм, а также отсечной электроклапан 5 с временем открывания ~0.05 с, подключенный к аспиратору с расходом Q = 0.5 - 2.5 л/с. Диаметр сопел инерционных каскадов D = 5-20 мм, а расстояние W от торца сопла до подложки 5-20 мм [1]. Зарядное устройство 1 выполнено в виде коронирующей проволоки с радиусом r = 50 - 75 мкм, натянутой вдоль оси заземленного цилиндра радиусом R = 1.5-2 см и длиной L = 5 - 8.5 см.

Электронный блок импактора содержит высоковольтный источник напряжения, подключенный к зарядному устройству с ограничителем тока; систему управления термопарой и отсечными электроклапанами; измеритель тока коронного разряда (≤ 50 мкА) и токов переноса униполярнозаряженных капель I_i с подложек каскадов 3 и

электропроводящего фильтра 4; преобразователь усиленного токового сигнала в цифровой, а также микропроцессор для формирования сигналов, подключенный к интерфейсу RS-485. Данные передаются каждые 10—20 мс по витой паре к компьютеру, удаленному на безопасное, до 1200 м, расстояние и соединенному с сервером оптоволоконной линией длиной до 10 км с сетевым интерфейсом 100 Мбит Ethernet. Программное обеспе-

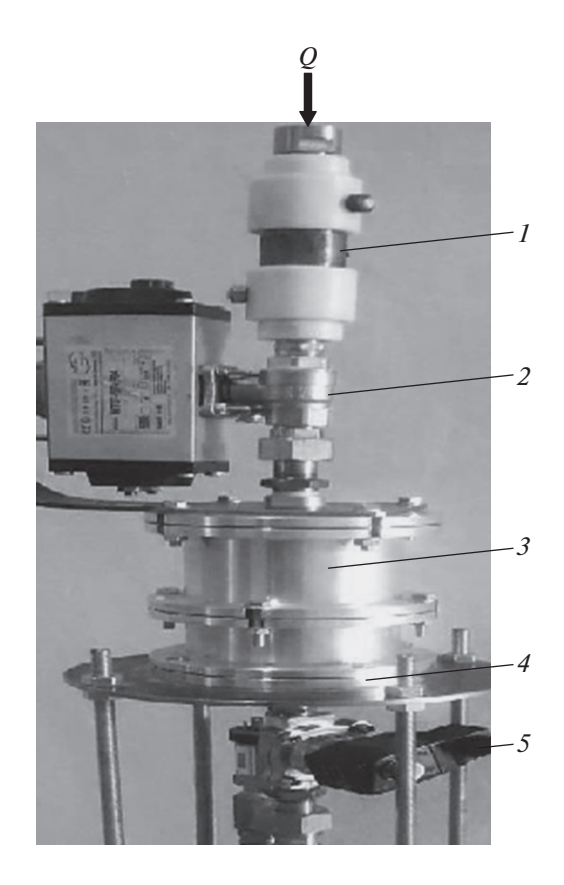


Рис. 1. Фотография быстродействующего импактора. I — устройство для униполярной зарядки капель в коронном разряде; 2 — пневматический электроклапан; 3 — инерционные каскады; 4 — электропроводящий фильтр; 5 — отсечной электроклапан.

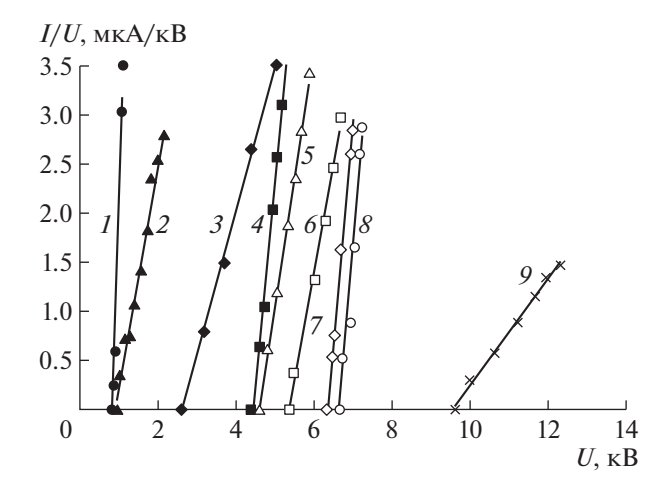


Рис. 2. Редуцированные характеристики коронного разряда I/U в зависимости от величины положительного напряжения U для электроположительных (Ne, He, Ar, CH₄, N₂, пары сжиженного природного газа (с.п.г.)) и электроотрицательных (воздух с парами с.п.г., SF₆) газов при 20°С: I — Ne, $U_0 \approx 0.84$ кВ; 2 — He, $U_0 \approx 0.95$ кВ; 3 — Ar, $U_0 \approx 2.63$ кВ; 4 — смесь 12% об. метана + 88% об. воздуха, $U_0 \approx 4.4$ кВ; 5 — воздух, $U_0 \approx 4.57$ кВ; 6 — смесь 12% об. метана + 88% об. азота, $U_0 \approx 5.4$ кВ; 7 — пары с.п.г., состоящего из \approx 94% об. метана + 6% об. этана, пропана, бутана, пентана и т.п., $U_0 \approx 6.4$ кВ; 8 — 99.9% об. метана, $U_0 \approx 6.6$ кВ; 9 — SF₆, $U_0 \approx 9.53$ кВ.

чение позволяет сохранять результаты в компьютере сервера. Для анализа капель в атмосфере используется блок подвески импактора на мачте и/или тросе на высоте ≤50 м.

Известно [1], что эффективность инерционного осаждения капель на дисковую подложку импактора определяется числом Стокса: Stk = $= \tau(p)V/D$, где $\tau(p) \approx \rho d^2C/(18\eta)$ — время релаксации капли, для которой сила сопротивления среды определяется формулой Стокса; $V = 4Q/(\pi D^2)$ — скорость газа из сопла; ρ — плотность частицы; W = D — расстояние от торца сопла до подложки; C — поправка Каннигема на скольжение газа; η — его динамическая вязкость.

Параметры коронного разряда зависят от химического состава, плотности и температуры газа. Известно [2], что редуцированные таундсеновские характеристики для устройства I аппроксимируются выражением: $I/U = A(U-U_0)$. Здесь I — ток коронного разряда; U_0 — начальное напряжение зажигания коронного разряда; U — текущее напряжение; $A \approx 8\pi\epsilon_0\mu/(R^2\ln(R/r))$, где $\epsilon_0 = 8.85 \cdot 10^{-12} \ \Phi/\mathrm{M}$, μ — подвижность газовых ионов.

На рис. 2 приведены измеренные значения I/U и U_0 для девяти электроположительных и электроотрицательных газов в устройстве I, имеющем

следующие размеры: r = 0.005 см, R = 1.5 см и L = 8.5 см. Значения I передавались каждые 10 мс в компьютер, удаленный на расстояние 1200 м. Анализ данных на рис. 2 показал, что изменение U_0 от типа газа согласуется с данными Пашена для плоских электродов [2].

Зарядка капель осуществляется во внешней зоне униполярного коронного разряда с практически постоянным распределением напряженности электрического поля E и плотности тока $J=\sigma E$, где $\sigma-$ электрическая проводимость газа в зоне зарядки [1–3]. Скорость электризации капель определяется напряженностью E и параметром зарядки $\sigma \tau$, где $\tau-$ время их электризации [1–3]. Средний заряд капель $\langle q \rangle$ можно рассчитать как сумму средних зарядов, согласно диффузионному $\langle q \rangle_D$ и ударному $\langle q \rangle_E$ механизмам зарядки.

При от > 5 · 10^{-10} (Ом · м) $^{-1}$ · с и $E \ge (5-10) \cdot 10^4$ В/м заряд $\langle q \rangle_E \gg \langle q \rangle_D$ для капель с d > 4-5 мкм [1-3]. В результате, согласно расчетам Потенье, капли заряжаются до заряда насыщения: $\langle q_{\rm max} \rangle_E \approx \epsilon_0 \pi \langle d^2 \rangle E[1+2(\epsilon-1)/(\epsilon+2)]$, где $\langle d^2 \rangle$ — усредненный квадрат диаметра капель; ϵ — их диэлектрическая проницаемость [1-3]. Соответственно ток переноса будет равен $I_i \approx QN_i \langle q_{i, \, {\rm max}} \rangle_E$. Это позволяет определить распределение поверхностной концентрации грубодисперсных капель по каскадам как $S_i = \pi N_i \langle d_i^2 \rangle$, а также их счетную N_i и массовую M_i концентрации в зависимости от диаметра капель d_i , осевших на подложке i каскада. Величина d_i определяется из числа Стокса и данных калибровки импактора.

Импактор имеет следующие основные характеристики. Ток коронного разряда в воздухе не превышает 10-15 мкА при напряжении U=5.5-6 кВ. Измеряемый диапазон токов переноса $I_i=10^{-5}-10$ мкА. Время быстродействия импактора зависит от расхода Q и в диапазоне Q=0.5-2.5 л/с варьируется от 0.3 до 1 с. Конструкция импактора выдерживает избыточное давление во фронте ударной волны до 10^5 Па и напор воздуха ≤ 300 м/с. Прибор оснащен термопарой хромель—алюмель с быстродействием 0.15 с для измерения температуры воздуха, устойчив к воздействию магнитного поля с напряженностью до 200 А/м и промышленной частотой 50-60 Гц.

Разработанный импактор использовался для измерения эффективности улавливания капель масляного тумана диаметром $\approx 0.2-0.5$ мкм фильтрами тонкой и высокой очистки, а также для анализа грубодисперсных капель турбинного масла с $d \le 100$ мкм при испытании грубых фильтров, согласно ГОСТ Р 51251-1999. Субмикронные капли получали с помощью туманообразователя, работающего по принципу барботажа, согласно ГОСТ 12.4.157-75, а грубодисперсные —

пневматическим распылителем "Wagner". Данные в компьютер, удаленный на расстояние 1200 м, передавались каждые 10 мс. Результаты измерения эффективности фильтров удовлетворительно согласуются с данными их нефелометрического анализа, согласно ГОСТ 12.4.157-75.

При анализе двухфазных выбросов и облаков капель их униполярный объемный зарял созлает электрическое поле, вектор которого направлен встречно электрическому полю коронного разряда. Если его величина соизмерима с величиной объемного заряда газовых ионов, то наблюдается "запирание" коронного разряда [2]. На рис. 3 приведены измеренные значения тока короны от времени в устройстве 1 с размерами r = 0.005 см. R = 1.5 см и L = 6.5 см при U = 5.7 кВ. Резкое снижение тока I обусловлено аспирацией потоков субмикронных (пик A) и грубодисперсных (пик B) капель авиационного керосина ТС-1 в зону коронного разряда. Их объемный заряд был близок к величине заряда газовых ионов en_i , где $n_i \approx 10^{15}$ ионов/м³ — характерная концентрация ионов в зоне коронного разряда, $e = 1.6 \cdot 10^{-19} \text{ Kл}$ — заряд электрона [1, 2]. Отметим, что измеренная концентрация ненасыщенных паров керосина составляла менее $10-15 \, \text{г/м}^3$ при T = 16-18°C. Наличие этих паров несущественно влияло на величину I по сравнению с влиянием объемного заряда капель.

Эффект "запирания" короны затрудняет использование быстродействующего импактора, тем не менее, позволяет каждые ≈ 100 мс оценивать массовую концентрацию капель известного размера в аэрозольных выбросах. Отметим, что в процессе распыления топливных жидкостей капли приобретали биполярный заряд, величина которого была существенно меньше значений $\langle q \rangle$ капель в коронном разряде.

Разработана сеть быстродействующих импакторов с визуализацией на местности системой ГЛО-НАСС-GPS для проведения масштабных экспериментов, связанных с моделированием аварий в системах хранения топливных жидкостей массой более нескольких сотен тонн. При импульсном распылении топливных жидкостей в атмосферу с образованием двухфазных турбулентных выбросов была измерена концентрация капель диаметром менее 100—120 мкм, а также массовая доля субмикрон-

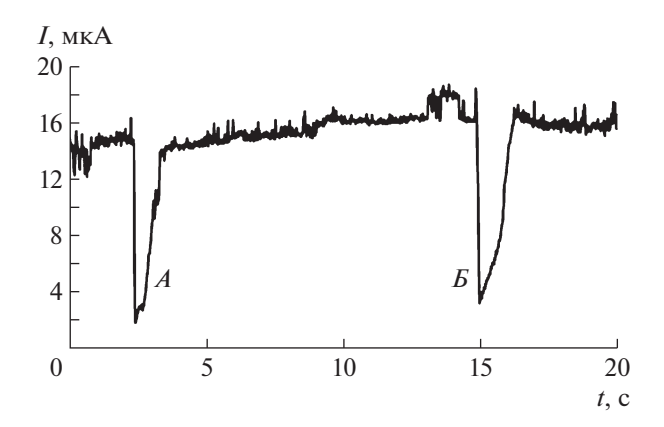


Рис. 3. Измеренные значения тока короны I от времени t при аспирации воздуха в зону коронного разряда с расходом $Q=500~{\rm cm}^3/{\rm c}$: пик A — аспирация субмикронных капель керосина с $d\approx0.2-1$ мкм и $M\approx2-3~{\rm r/m}^3$; пик B — аспирация грубодисперсных капель керосина с $d\approx20-100$ мкм и $M\approx400-600~{\rm r/m}^3$. Скорость движения в зоне коронного разряда около $0.7~{\rm m/c}$, время зарядки капель $\tau\approx0.1~{\rm c}$, величина параметра зарядки от $\approx(2-3)\cdot10^{-9}~{\rm (Om\cdot m)}^{-1}\cdot{\rm c}$.

ных капель с d < 3 мкм. Исследованы их флуктуации в процессе развития и распада затопленных двухфазных струй с начальной скоростью >100 м/с, длиной 100-150 м и объемом 10^4 м³.

Сеть быстродействующих импакторов с их визуализацией на местности может быть использована для дистанционного мониторинга двухфазных выбросов и облаков в атмосфере и экологического контроля промышленных объектов.

СПИСОК ЛИТЕРАТУРЫ

- 1. *Райст П*. Аэрозоли, введение в теорию. М.: Мир, 1987.
- 2. *Капцов Н.А.* Электрические явления в газах. М., Л.: Гостехиздат, 1947.
- 3. *Загнитько А.В., Кирш А.А., Стечкина И.Б.* // Журнал физической химии. 1988. Т. 62. № 11. С. 3058.

Адрес для справок: Россия, 123182, Москва, площадь И.В. Курчатова, 1, НИЦ "Курчатовский институт", Курчатовский комплекс промышленной безопасности. E-mail: zagnitko_av@nrcki.ru